

京都大学工学部 正員 松本勝, 正員 白石成久, 正員 因南博夫

1. まえがき 美経浦吊橋の架設時の耐風性に関する研究は、白木・橋本等<sup>1)</sup>、伊藤・大竹等<sup>2)</sup>、横山・高田<sup>3)</sup>、白石・浦田等<sup>4)</sup>等によって報告されており、架設時のフラッタ限界風速は種々に変化することが知られている。本研究は二次元剛体模型実験によて実橋架設系の空力特性を検討する手法について述べるものであり、併せて空力弹性模型実験結果と比較を行なうものである。なお対象とした吊橋は本州四国連絡橋計画吊橋(中央絶間770m)であり、二次元模型および空力弹性模型縮尺はそれぞれ1/60 および1/385である。

2. 二次元剛体模型実験による実橋架設時の空力特性の評価 二次元実験結果と実橋の空力挙動との関連づけについては、Bleich, Vincent<sup>5)</sup>, Scanlan<sup>6)</sup>, 伊藤・宮田・久保<sup>7)</sup>, 白石・小川<sup>8)</sup>等によて検討が加えられている。ここでは振り1自由度系(吊橋トラス補剛部の多くは振り1自由度フラッタ形式)について、次のようにして、二次元実験より得られる非常空気力係数に、実橋(架設時)モードを考える: とによって、実橋(架設時)のV-A-S曲線を推定するものである。二次元実験より得られる非常空気力係数  $A_2^*$ (振れ速度に比例する項)  $b_0$ 、振り低振幅( $2\bar{\phi}$ )の固有値として次式によて近似する。

$$A_2^* = \sum_{i=1}^n b_i (2\bar{\phi})^i = b_0 + b_1 (2\bar{\phi}) + b_2 (2\bar{\phi})^2 + \dots \quad (1)$$

二次元模型の空力挙動や、実橋のストリップ部の挙動を表わし、振りモード周期の連成や無視できるものとすれば実橋架設段階の振り1次モードの振動方程式は次式のように表わすことができる。

$$\begin{aligned} S_j + 2S_{oj}(\omega_{oj})S_j + \omega_{oj}^2 S_j &= \left[ \int_{0}^{x_1} \{ A_2 \dot{\theta} + A_3 \dot{\theta} \dot{x}_j \} dx + \int_{x_2}^L \{ A_2 \dot{\theta} + A_3 \dot{\theta} \dot{x}_j \} dx \right] / \int_{0}^L I_{eq} \dot{\theta}^2 dx + \int_{x_2}^L I_{eq} \dot{\theta}_j^2 dx + \int_{x_2}^L I_{eq} \dot{\theta}_j^2 dx \\ &\doteq S_{bp}^2 \omega_j \dot{\theta}_j + \left\{ \int_{0}^{x_1} A_2^* \dot{\theta}_j^2 dx + \int_{x_2}^L A_2^* \dot{\theta}_j^2 dx \right\} / I_{eq} + \left\{ \int_{0}^{x_1} \dot{\theta}_j^2 dx + \int_{x_2}^L \dot{\theta}_j^2 dx \right\} + S_{bp}^2 \omega_j^2 A_2^* \dot{\theta}_j / I_{eq} \\ &= \frac{S_{bp}^2 \omega_j \dot{\theta}_j}{I_{eq}} \left\{ b_0 + b_1 (2\bar{\phi}_j) \frac{dx_j}{dx_j} + b_2 (2\bar{\phi}_j) \frac{dx_j}{dx_j} + b_3 (2\bar{\phi}_j) \frac{dx_j}{dx_j} + \dots \right\} + \frac{S_{bp}^2 \omega_j^2 A_2^* \dot{\theta}_j}{I_{eq}} \\ &= S_{bp}^2 \omega_j \dot{\theta}_j \left\{ b_0 + b_{bp} (2\bar{\phi}_j) + b_{bp} (2\bar{\phi}_j)^2 + b_{bp} (2\bar{\phi}_j)^3 + \dots \right\} / I_{eq} + S_{bp}^2 \omega_j^2 A_2^* \dot{\theta}_j / I_{eq}. \\ &= S_{bp}^2 \omega_j \dot{\theta}_j A_2^* / I_{eq} + S_{bp}^2 \omega_j^2 A_2^* \dot{\theta}_j / I_{eq}. \end{aligned} \quad (2)$$

但し  $\theta(x,t) = \sum_{i=1}^n \theta_i(t) \phi_i(x)$  で、 $\theta_i$ : 振り1次モードの絶対値、 $S_{oj}$ 、 $\omega_{oj}$ : 無風時の1次モードの減衰比および固有振動数  $\omega_{oj}$ 、振り1次モード一般座標、 $\phi_i$ : 振り1次モード固有値、 $A_2^* = (\sqrt{p_0 + \omega}) A_2$ 、 $A_3^* = (\sqrt{p_0 + \omega^2}) A_3$ 、

無風P: 実橋頂点である、b: 断面半弦長、 $\omega_j$ : 断面Jにおける1次モード固有振動数、 $\dot{\theta}_j$ : 支点J、 $x_1$ 、 $x_2$ : 左右内側タワーからの半弦長り表示、

$$I_{eq} = \left\{ \int_0^L I_c \dot{\theta}^2 dx + \int_{x_2}^L I_s \dot{\theta}^2 dx + \int_{x_2}^L I_s \dot{\theta}_j^2 dx \right\} / \left\{ \int_0^{x_1} \dot{\theta}_j^2 dx + \int_{x_2}^L \dot{\theta}_j^2 dx \right\} \quad (:\text{等断面質量積性}-X-2)$$

$I_c$ 、 $I_s$ : ケーブルおよび塔の半弦スパン通りの重量慣性モーメント

$$dx_{ij} = \int_{x_1-i}^{x_1} \dot{\theta}_j^2 dx + \int_{x_2-j}^L \dot{\theta}_j^2 dx \quad (i=1, 2, 3, \dots), \quad A_3^* = A_{3p}^*$$

式(2)より、実橋架設系のV-A-S曲線を求めることができ、併せてフラッタ限界風速について検討することができる。なお、フラッタ開始( $2\bar{\phi}=0$ )限界風速については、 $b_0 = b_{bp}$ となることから本節前に二次元結果値と実橋値とは一致する。

### 3. 実験結果および実橋架設系の空力挙動の推定

ここで対象としたトラス補剛斜断面(原形断面)ではフラッタの出現が認められない。一方、高橋閣の両側グレーティングを用意した変形断面では振りの卓越したフラッタの出現が認められた。図1は振動数比( $\omega_{oj}/\omega_{op}$ )を架設段階に応じて変化(完成系2.23, 75% 架設系1.98, 50% 架設系1.71, 但れ片持1次モード)させたときの低振幅0.06 rad. a  $A_2^*$ を示すものであり、 $A_2^*$ が( $\omega_{oj}/\omega_{op}$ )によって変化がみられる。図2は、完成系対称1次モードを対象とした原形および変形断面の  $A_2^*$ の振幅依存性を示すものである。表1は実橋架設系の振動諸量を示すものである。なお架設系の振りモードは文献

10)  $\alpha$  ものを用い、 $S_{\alpha j}$  は、文献(10), (11)より推定した。式(3)を用いて得られる実橋の  $V-A-\delta$  曲線と二次元結果との比較例を図3-1, 3-2 に示す。またフック限界風速の比較結果を表3-1 に示す。

**4. 結び** 次の結果をまとめると次のようである。  
(i) 二元実験による実橋架設時の耐風性評価においては、実橋架設率の振動特性(モード固有值、構造減衰)が同等となる。  
(ii) 実橋(変形断面)のフック限界風速は架設段階に応じ種々に変化する。  
(iii) 曲げ挙げ振動数比によって非直立空気力係数  $A_2^*$  に変化がみられる。  
(iv) 実橋ではモードの存在によって、各風速に対する振幅依存性は小さくなる傾向がみられる。特に、ケーブルヒンジのモードに特異な特性のみられる 50% 架設時ではその傾向が強くみられる。  
(v) 二元実験からの解説と直立空気弹性模型実験結果では、傾向的な特性の一一致がみられる。

終りに、本研究の遂行にあたり終始有益な御助言をいたさざまし  
て中部工業大学教授小西一郎先生に謝意を表します。

#### 参考文献

- 1) 白木・福沢・田中・松井、三菱技報、Vol. 7, No. 7, 2) 伊藤・大竹・杉山、土木学会29回全国大会、1974, 3) 横山・成田、土木学会31回全国大会、1976, 4) 白木・瀬田・酒井、土木学会論文報告集、No. 250, 1976, 5) F. Bleich, ASCE, 1948, Oct., 6) G. S. Vincent, Aerodynamic Stability of Large Br., Part V, 1954, 7) R. H. Scanlan & Ali Sathzvaran, ASCE. Str. Eng. Conf., May, 1967, 8) 伊藤・宮田・久保、土木学会30回全国大会、1975, 9) 白木・小川、土木学会論文報告集、No. 244, 1975, 10) 大坂・白木・福沢・松井、三菱技報、Vol. 7, No. 4, 11) 大橋・白木・福沢・鈴木、三菱技報、Vol. 11, No. 1, 1974

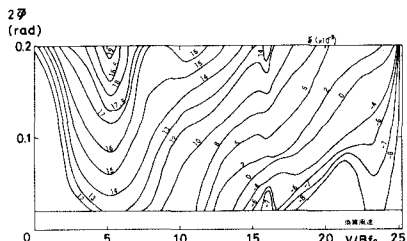


図3.1  $V-A-\delta$  曲線(二元実験結果)  
(完成系、変形断面)

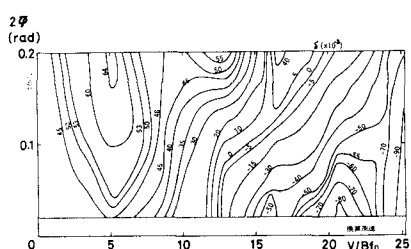


図3.2  $V-A-\delta$  曲線(実橋解剖値)  
(完成系、変形断面)

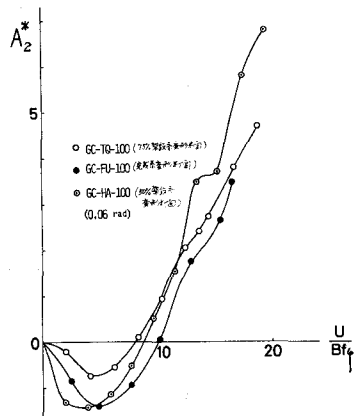


図1.  $(\omega_{sp}/\omega_{n0})$  による  $A_2^*$  の変化(変形断面)

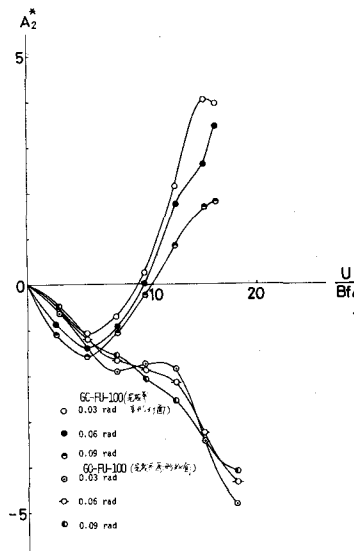


図2.  $A_2^*$  の振幅依存性

表1. 実橋架設率振動諸量

諸量	単位	モード	完成系	75% 架設系	50% 架設系
$S_{\alpha j}$		s1	0.03	0.012	0.012
		as1	0.09	0.0225	0.015
$I_{eg}$	ton.sec <sup>2</sup>	s1	229.4	2356.1	1084.05
		as1	229.4	252.17	655.30

表2 フック限界風速および  $A_2^*$  の結果

空気弹性 模型実験	$(V/B_f)_c$	$A_2^*$ の結果			
		完成系	75% 架設系	50% 架設系	
二次元実験 なら実橋の 解剖値	$(V/B_f)_c$	s1 as1	12.5 12.36	16.43 —	14.44
	$A_2^*$	s1 as1	1.540 1.539	17.60 1.267	12.60 2.198